

狭窄部における河床変動に関する研究

京都大学防災研究所 正員 苜田和男
 同 上 正員 道上正規
 京都大学 大学院 学 〇江頭進治

1. 概説 断面変化部の河床変動は、一様砂礫を対象として Laureen¹⁾、苜田²⁾、混合砂礫を対象として河村³⁾、平野⁴⁾の教多くの人によって研究されてきた。しかし、混合砂礫の場合には、河床変動に砂礫の混合特性が顕著にあらわれるが、これについての従来の取扱は十分でない。最近、苜田・道上は、混合砂礫の限界掃清力に関する Egiazaroff の理論を若干修正し、さらにその後、その理論がほぼ妥当なものであることと確かめた。図-1は修正した Egiazaroff の理論曲線と実験値(〇印)との比較である。本論は、この混合砂礫の限界掃清力の一つの適用例として、狭窄部における静的平衡縦断形状について検討を加え、砂礫の粒度分布特性と初期の摩擦速度ならびに流路の縮小率に応じて、河床形状に種々の場合が生じることを明らかにするとともに、その算法を示し、これを実験によって確かめようとするものである。

2. 実験方法と実験結果 幅1m、長さ16mの実験用水路の中央部に幅20cmの狭窄部と長さ2mの丘間に備えつけ、その上下流部にそれぞれ1.5mの approach をつけた水路を使用した。本実験では平均粒径 $d_m = 2.5\text{mm}$ 、90%粒径 $d_{90} = 6.1\text{mm}$ 、 $\sqrt{d_{90}/d_{10}} = 3.58$ の混合砂礫が水路全長にわたって敷きならされ、河床砂礫の粒度分布、水位、河床高および下流端での流砂量の測定がなされた。なお、上流端からの結砂は行っていない。実験の初期条件は表-1に示す通りであるが、添字2は狭窄部での、1はその上下流部での諸量である。なお本論で用いる記号は、
 U_{*cmax} : d_{90} あるいは d_{max} の移動限界摩擦速度、 U_{*cm} 、 U_{*cmin} : d_m 、 $d_{min} = 0.4d_m$ の移動限界摩擦速度、 i : 勾配、 L_{cmax} : d_{90} あるいは d_{max} が移動限界になるこう配を示している。他の記号は慣用表現に従う。

初期の河床粒子の移動状況は狭窄部において、Exps. 1, 2 ともに、 $U_{*cmax} < U_{*c0}$ 、上下流部において、Exp. 1 は

$U_{*cmin} > U_{*c0}$ 、Exp. 2 は $U_{*cm} \approx U_{*c0}$ 程度である。図-2にはエネルギー、水位、河床の縦断形状の時間的变化が示されている。

狭窄部の上流において、Exp. 1 の方がせき上げが顕著である。これは掃清力が小さいため、流路の形成が防げられたためであると推定される。上流部においては両実験とも顕著な河床変動はなく、初期状態を保っていると思はれてよい。狭窄部では通水開始から60分を経過すると armour coat が形成され、河床低下がほぼ完了している。Exp. 2 において逆こう配を程しているのは、狭窄部が短いため、水溜の局所的な変動の影響が現れられたためであると考えられる。狭窄部が十分長ければ、混合砂礫の d_{90} で規定されるようなこう配になることが推測される。

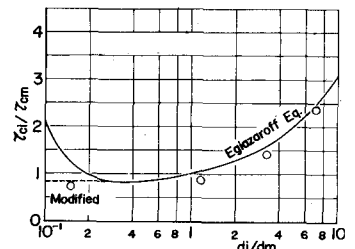


図-1 混合砂礫の限界掃清力

Exp. No.	$q(\frac{cm^3}{cm \cdot sec})$	i_0	$h_0(cm)$	Manning's n_0	$U_{*c}(\frac{cm}{sec})$	B_1/B_2	TIME
1	100	0.005	2.96	0.0201	3.81	5	300
2	240	0.005	5.00	0.0201	4.95	5	360

表-1 実験条件 (〇印は初期の値)

Exp. 1 の下部部では狭窄部の直下部部にか
 の堆積部が見られるが、これは輸送されてきた
 砂礫が、下部部の輸送力が小さいためそのまま
 堆積したものと考えられる。Exp. 2 の下部部は
 d_{90} で規定されるようなこう配になっている。
 この事実は第3節で説明する。Exp. 1 の河床砂
 礫の粒度分布の場所的・時間的变化を示したもの
 が図3である。本図から上部部においては砂礫
 の移動はなく、狭窄部において洗掘された砂礫
 が、そのまま下部部に堆積していることがわか
 る。なお印は *armour coat* の計算理論より
 求められた計算値であるが実測値とかなりよく
 一致している。Exp. 2 のものは本文には記載し
 ていないが、上部部においてもかなりの *armouring*
 現象が認められ、狭窄部と下部部においてはほ
 ぼ同様の粒度分布を示したことを付記しておく。

3. *Armouring* 現象を伴う静的平衡河床
 形状 擬似等流を仮定して、Manning の抵抗則
 と、河床の砂礫が移動限界にある時の掃流力の
 表現式の2式を基本式として、エネルギーこう
 配に影響を及ぼすと考えられる諸因子について
 検討する。両式は

$$Q/Bh = 1/n_b \cdot i^{1/2} (\xi h)^{2/3} \quad \text{----- (1)}$$

$$U_*^2 c = \gamma \xi h i \quad \text{----- (2)}$$

と書かれる。ここに ξ は Einstein の shear 分
 割法によって側壁効果を除去するための係数で、
 $\xi = \{1 + 2h/B \cdot (n_w/n_b)^{3/2}\}^{-1}$ であり、 n_b は河床
 粗度、 n_w は側壁の粗さより決定される Manning の
 粗度係数である。式(1),(2)より i を消去すると、

$$i = (B/n_b Q)^{2/3} \cdot (U_*^2 c / \gamma)^{1/2} \cdot \xi^{-1} \quad \text{---- (3)}$$

となる。式(3)を用いて静的平衡河床こう配を相
 対形式で書くと、

$$i_1/i_2 = (B_1/B_2)^{2/3} \cdot (n_{b1}/n_{b2})^{-2/3} \cdot (U_*^2 c_1 / U_*^2 c_2)^{1/2} \cdot (\xi_1/\xi_2)^{-1} \quad \text{--- (4)}$$

となる。 n_b の代わりに平担河床の粗度を与える
 Strickler 形式の $n_b = a d^{1/6}$ を用いると、式(4)は、

$$i_1/i_2 = (B_1/B_2)^{2/3} \cdot (d_{90,1}/d_{90,2})^{1/2} \cdot (U_*^2 c_1 / U_*^2 c_2)^{1/2} \cdot (\xi_1/\xi_2)^{-1} \quad \text{--- (5)}$$

となる。最大粒径が水路全域にわたって活流に

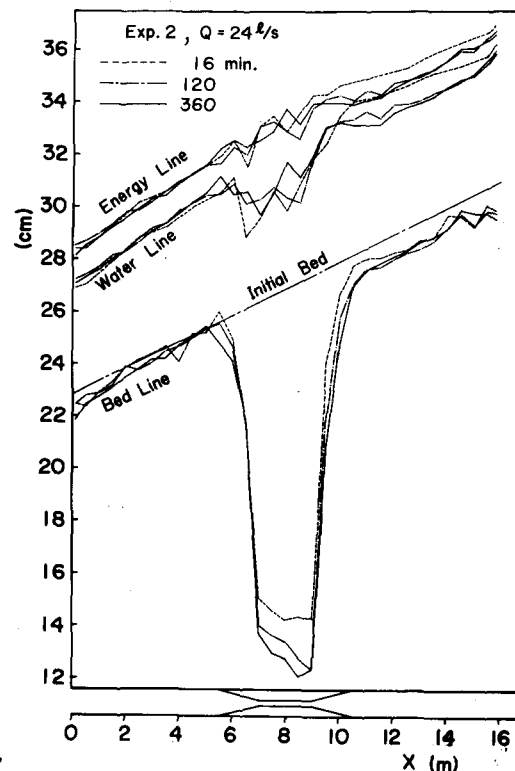
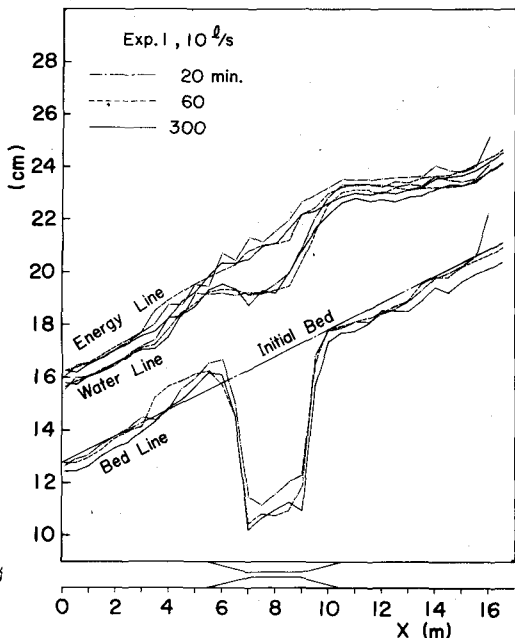


図-2 エネルギー・水位・河床高の時間的变化

移動するような水流量であれば、最終状態において $d_{90,1} = d_{90,2}$, $U_{*c1} = U_{*c2}$ の假定が成立する。更に側壁効果が無視できるなら、 $\xi_1 = \xi_2$ となり、式(4)(5)は、 $l_1/l_2 = (B_1/B_2)^{6/7}$ ----- (6)

となる。式(6)は一樣砂礫の理論と同形式のものであるが、相違点としては、左辺の未知数を混合砂礫の理論を用いて求めねばならぬことである。次に他者らの研究と比較するため相対水深の形式で表現すると、

$$h_1/h_2 = \left(\frac{B_1}{B_2}\right)^{6/7} \left(\frac{U_{*c1}}{U_{*c2}}\right)^{-6/7} (n_{b1}/n_{b2})^{6/7} (\xi_1/\xi_2)^{-1/7}$$

$$= \left(\frac{B_1}{B_2}\right)^{6/7} \left(\frac{U_{*c1}}{U_{*c2}}\right)^{6/7} (d_{90,1}/d_{90,2})^{1/7} (\xi_1/\xi_2)^{-1/7}$$

----- (7)

となる。式(7)において、 $d_{90,1} = d_{90,2}$, $\xi_1 = \xi_2$ とおくと Laursen¹⁾ のものと類似の結果を得る。

図-4は掃流力の縦断分布の模式図で、 τ_{cmax} , τ_{cmin} は図-1に挙げているような混合砂礫の限界掃流力の理論より求まるが、それぞれ $d_{90} = d_{max}$, $0.4d_m = d_{min}$ の限界掃流力である。初期において破線-1のような掃流力の分布ならば、河床砂礫が全区間で活発に移動するので、静的平衡河床こう配は式(6)によつて求まる。破線-2のような分布ならば、上流側では初期こう配を保持しながら、armouringのために若干低下するが、破線-3のような分布ならば変化しない。下部部においては狭窄部からの輸送砂礫のため河床形状に局所的な影響が現われる。これは狭窄部での洗掘量と下部部の長さによつて規定されるだろうと考えられる。すなわち、式(4)または(5)において、 $U_{*c1} = U_{*c0}$ として洗掘量を略算し、これを初期河床に l_{cmax} のこう配で堆積させると、だいたいの影響長を知ることができよう。

図-5は著者らの実験を、図-6は平野²⁾のデータを式(4)または(5)に基づいて解析したものである。Exp.1, Exp.2, 平野の実験の初期の掃流力の分布はそれぞれ破線-3, 2, 1のような分布をしている。Exp.1においては狭窄部での洗掘量は下部部の中央より下部には影響しないので、 $l_1 = l_0$, $U_{*c1} = U_{*c0}$, $U_{*c2} = U_{*cmax}$, $d_{90,1} = d_{90,2}$ として計算し、Exp.2においては、下部部の河床こう配が l_{cmax} となるに十分な輸送砂礫があることも前記した略算法から求め、 $l_1 = l_{cmax}$, $d_{90,1} = d_{90,2}$, $U_{*c1} = U_{*c2} = U_{*cmax}$ として計算した。なお平野のデータは、 $l_1 = l_{cmax}$, $d_{90,1} = d_{90,2}$, $U_{*c1} = U_{*c2} = U_{*cmax}$, $\xi_1 = \xi_2$ と

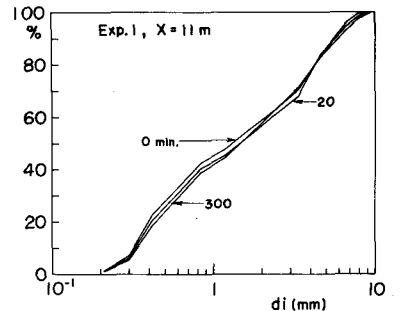
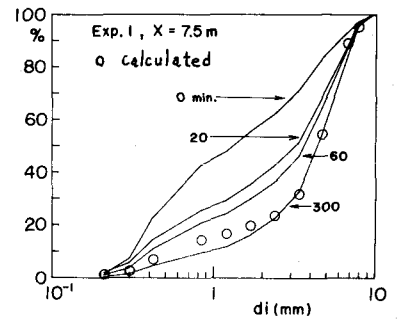
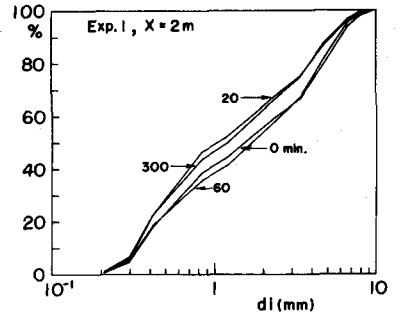


図-3 河床砂礫の粒度変化

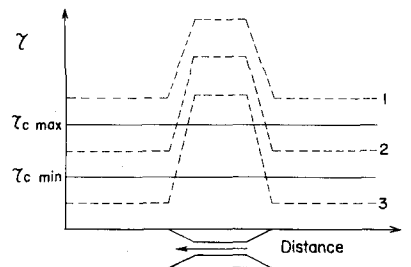


図-4 掃流力の縦断分布

して解析した。

4. 結語 本研究において著者は式(4)または式(5)および式(6)に基づき解析によって、Approach部での形状抵抗を無視したにもかかわらず、ほぼ満足すべき結果を得た。この事実は初期の状態において移動床であることの注目すべき結果である。初期の掃流力の分布が図-4の破線-1のような分布をする場合、 d_{90} と縮小率と α によって規定されるような河床形状を程することを確認した。荻田³⁾道上³⁾、更に著者の先の研究によって、Armouring現象ともなる河床変動の場合、 d_{90} または d_{max} が重要な役割を演ずることを再三指摘してきたが、その事実を本研究で更に前進させた。

初期掃流力の分布が破線-2,3のような分布をする場合、狭窄部からの輸送砂礫が下部部へどのように影響するかを解明することは今後の重要な問題点であろう。

最後に、本研究を遂行するに当たり、実験データ整理に多大なる援助をしていただいた立命館大学理工学部学生、黒田誠一君に感謝の意を表します。

参考文献

- 1) E. M. Laursen: "An Analysis of Relief Bridge Scour", Journal of the Hydraulic Division, ASCE, Vol. 89, Hy. 3, May 1963.
- 2) 荻田和男: 「断面変化部における河床変動に関する研究(1)」, 京都大学防災研究所年報, 昭和38年7月
- 3) 河村三郎: 「ダム下流流域における河床変動に関する研究」, 昭和44年4月
- 4) 手野宗夫: 「分級作用に伴う河床変動」, 第26回年次講演会講演集, 昭和46年10月
- 5) 荻田 道上: 「混合砂礫の河床変動, Armouring現象について」, 第15回水理講演会講演集, 1971年2月
- 6) 荻田 道上・江頭: 「混合砂礫の移動限界について」, 第26回年次講演会講演集, 昭和46年10月
- 7) 荻田 道上・江頭: 「Armour coatの程度分布に関する研究」, 関西支部年報概要, 昭和46年5月

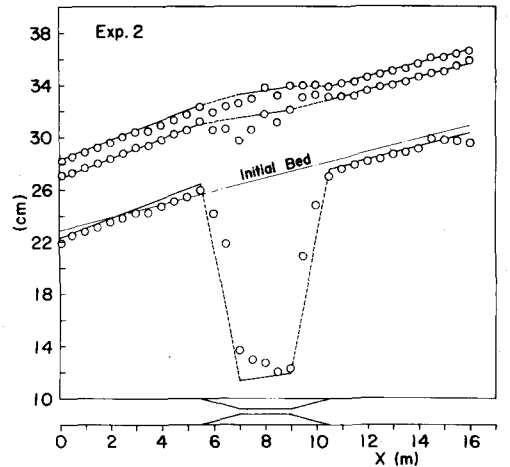
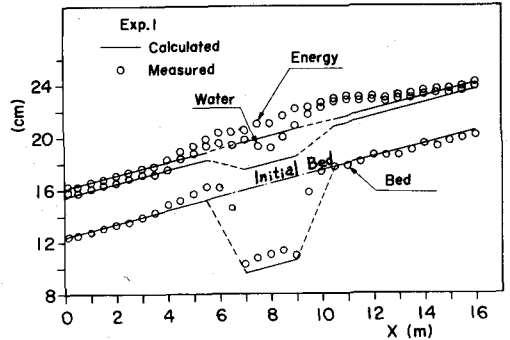


図-5 静的平衡状態の計算値と実現値の比較

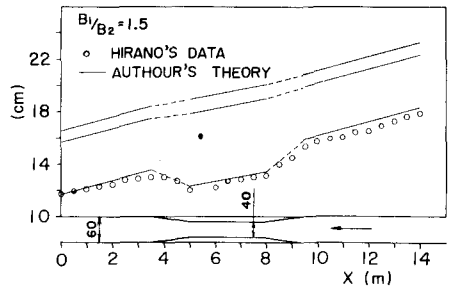


図-6 静的平衡状態の計算値と実現値の比較